

**$^{161}\text{Dy}(^{28}\text{Si},4n\gamma)$     1988Ha19**

Type	Author	History	
Full Evaluation	S.-c. Wu	Citation	Literature Cutoff Date
		NDS 106, 619 (2005)	1-Nov-2005

1988Ha19:  $^{161}\text{Dy}(^{28}\text{Si},4n\gamma)$ , E=135-160 MeV; 95% enriched  $^{161}\text{Dy}$ . Measured  $E\gamma$ ,  $I\gamma$ ,  $\gamma\gamma$  coin,  $\gamma(\theta)$  for  $\theta=12^\circ$ ,  $33^\circ$ , and  $90^\circ$ .

Detector: the “Chateau de Cristal”  $4\pi$  system, consisting of 38 BaF<sub>2</sub> counters acting as sum-energy and multiplicity filter, and 12 escape-suppressed Ge(Li) detectors. Measured angular correlation and linear polarization coefficients.

 **$^{185}\text{Hg}$  Levels**

E(level)	J $^\pi$ <sup>†</sup>	T <sub>1/2</sub> <sup>‡</sup>	Comments
0.0 <sup>#</sup> 26.1	1/2 <sup>-</sup>	49.1 s 10	
34 <sup>@</sup> 8	(7/2) <sup>-</sup>		E(level): from $^{185}\text{Hg}$ IT decay (49 s) ( <a href="#">1982Bo27</a> ). E=38 keV given in level scheme by <a href="#">1988Ha19</a> .
96 <sup>#</sup> 99 <sup>a</sup> 8	(5/2 <sup>-</sup> ) 13/2 <sup>+</sup>	21.6 s 15	E(level): from $^{185}\text{Hg}$ IT decay (49 s) ( <a href="#">1982Bo27</a> ). E=103 keV given in level scheme by <a href="#">1988Ha19</a> .
141 <sup>@</sup> 212 <sup>&amp;</sup> 281 <sup>@</sup> 329 <sup>#</sup> 412 <sup>&amp;</sup> 436 <sup>@</sup> 479 <sup>a</sup> 541 <sup>&amp;</sup> 549 <sup>&amp;</sup> 613 <sup>@</sup> 634 <sup>#</sup> 806 <sup>@</sup> 906.8 <sup>&amp;</sup> 1015 <sup>#</sup> 1020 <sup>@</sup> 1030 <sup>&amp;</sup> 1093 <sup>a</sup> 1248 <sup>@</sup> 1359 <sup>&amp;</sup> 1461 <sup>#</sup> 1496 <sup>@</sup> 1514 <sup>&amp;</sup> 1753 <sup>@</sup> 1886 <sup>&amp;</sup> 1955 <sup>#</sup> 2030 <sup>@</sup> 2052 <sup>&amp;</sup> 2310 <sup>@</sup> 2478 <sup>&amp;</sup> 2480 <sup>#</sup> 2612 <sup>@</sup>	(9/2) <sup>-</sup> (9/2 <sup>+</sup> ) (11/2) <sup>-</sup> (9/2 <sup>-</sup> ) (11/2 <sup>+</sup> ) (13/2) <sup>-</sup> (17/2) <sup>+</sup> (17/2) <sup>+</sup> (15/2) <sup>+</sup> (13/2 <sup>-</sup> ) (17/2) <sup>-</sup> (19/2) <sup>+</sup> (17/2 <sup>-</sup> ) (19/2 <sup>-</sup> ) (19/2 <sup>+</sup> ) (21/2) <sup>-</sup> (21/2 <sup>+</sup> ) (21/2) <sup>-</sup> (23/2) <sup>+</sup> (21/2 <sup>-</sup> ) (23/2) <sup>-</sup> (25/2) <sup>+</sup> (25/2) <sup>-</sup> (27/2) <sup>+</sup> (25/2 <sup>-</sup> ) (27/2) <sup>-</sup> (29/2) <sup>+</sup> (29/2) <sup>-</sup> (31/2) <sup>+</sup> (29/2 <sup>-</sup> ) (31/2) <sup>-</sup>		

Continued on next page (footnotes at end of table)

$^{161}\text{Dy}(^{28}\text{Si},4n\gamma)$  **1988Ha19 (continued)** $^{185}\text{Hg}$  Levels (continued)

E(level)	$J^\pi \dagger$	E(level)	$J^\pi \dagger$	E(level)	E(level)
2648 <sup>&amp;</sup>	(33/2) <sup>+</sup>	3236 <sup>@</sup>	(35/2) <sup>-</sup>	3810	4177
2909 <sup>@</sup>	(33/2) <sup>-</sup>	3295 <sup>&amp;</sup>	(37/2) <sup>+</sup>	3867	4581?
3028 <sup>#</sup>	(33/2) <sup>-</sup>	3533 <sup>@</sup>	(37/2) <sup>-</sup>	3899	4703?
3123 <sup>&amp;</sup>	(35/2) <sup>+</sup>	3617		3983	

<sup>†</sup> From 1988Ha19, based on  $\gamma(q)$ ,  $\gamma\gamma$ -coin. and band structures.<sup>‡</sup> From Adopted Levels.

# Band(A): 1/2(521) rotational band. Prolate shape.

@ Band(B): 7/2(514) rotational band. Prolate shape.

&amp; Band(C): 9/2(624) rotational band. Prolate shape.

<sup>a</sup> Band(D):  $K^\pi=13/2^+$ , decoupled rotational band. configuration= $i_{13/2}$ . Prolate shape. $\gamma(^{185}\text{Hg})$ 

P=linear polarization from 1988Ha19.

$E_\gamma \dagger$	$I_\gamma \ddagger$	$E_i(\text{level})$	$J_i^\pi$	$E_f$	$J_f^\pi$	Mult.	#	Comments	
(8 8)		34	(7/2) <sup>-</sup>	26.1					
(26.1)		26.1		0.0	1/2 <sup>-</sup>				
96	<sup>@</sup>	96	(5/2) <sup>-</sup>	0.0	1/2 <sup>-</sup>	(Q)	<sup>a</sup>		
107.2	<sup>@</sup>	141	(9/2) <sup>-</sup>	34	(7/2) <sup>-</sup>	(D+Q)	<sup>a</sup>		
136.8	8.3	549	(15/2) <sup>+</sup>	412	(11/2) <sup>+</sup>	(Q)		A <sub>2</sub> =0.15 10.	
139.9	3.3	281	(11/2) <sup>-</sup>	141	(9/2) <sup>-</sup>	D+Q		A <sub>2</sub> =-0.35 10.	
152	<sup>@</sup>	1514	(25/2) <sup>+</sup>	1359	(23/2) <sup>+</sup>	(D+Q)	<sup>a</sup>		
155	1.5 <sup>&amp;</sup>	436	(13/2) <sup>-</sup>	281	(11/2) <sup>-</sup>	(D+Q)	<sup>a</sup>		
165 <sup>c</sup>	<sup>@</sup>	2052	(29/2) <sup>+</sup>	1886	(27/2) <sup>+</sup>	(D+Q)	<sup>a</sup>		
177	1.5 <sup>&amp;</sup>	613	(15/2) <sup>-</sup>	436	(13/2) <sup>-</sup>	(D+Q)	<sup>a</sup>		
194	<sup>@</sup>	806	(17/2) <sup>-</sup>	613	(15/2) <sup>-</sup>	(D+Q)	<sup>a</sup>		
200	3 <sup>&amp;</sup>	412	(11/2) <sup>+</sup>	212	(9/2) <sup>+</sup>	(D+Q)	<sup>a</sup>		
213	<sup>@</sup>	1020	(19/2) <sup>-</sup>	806	(17/2) <sup>-</sup>	(D+Q)	<sup>a</sup>		
228	<sup>@</sup>	1248	(21/2) <sup>-</sup>	1020	(19/2) <sup>-</sup>	(D+Q)	<sup>a</sup>		
233.5	16	329	(9/2) <sup>-</sup>	96	(5/2) <sup>-</sup>	Q		A <sub>2</sub> =0.3 1.	
246.5	16	281	(11/2) <sup>-</sup>	34	(7/2) <sup>-</sup>	E2		A <sub>2</sub> =0.2 1, P=0.47 16.	
247	<sup>@</sup>	1496	(23/2) <sup>-</sup>	1248	(21/2) <sup>-</sup>	(D+Q)	<sup>a</sup>		
294.6	25	436	(13/2) <sup>-</sup>	141	(9/2) <sup>-</sup>	E2		A <sub>2</sub> =0.40 15, P=0.32 11.	
304.3	21	634	(13/2) <sup>-</sup>	329	(9/2) <sup>-</sup>	E2		A <sub>2</sub> =0.26 12, P=0.10 3.	
313	5 <sup>&amp;</sup>	412	(11/2) <sup>+</sup>	99	13/2 <sup>+</sup>	(D+Q)	<sup>a</sup>		
329	8 <sup>&amp;</sup>	1359	(23/2) <sup>+</sup>	1030	(21/2) <sup>+</sup>	(D+Q)	<sup>a</sup>		
332.1	24	613	(15/2) <sup>-</sup>	281	(11/2) <sup>-</sup>	E2		A <sub>2</sub> =0.36 12, P=0.41 14.	
358	8 <sup>&amp;</sup>	906.8	(19/2) <sup>+</sup>	549	(15/2) <sup>+</sup>	(Q)	<sup>a</sup>		
366	9 <sup>&amp;</sup>	906.8	(19/2) <sup>+</sup>	541	(17/2) <sup>+</sup>	(D+Q)	<sup>a</sup>		
370.7	20	806	(17/2) <sup>-</sup>	436	(13/2) <sup>-</sup>	E2		A <sub>2</sub> =0.30 8, P=0.40 14.	
373	3 <sup>&amp;</sup>	1886	(27/2) <sup>+</sup>	1514	(25/2) <sup>+</sup>	(D+Q)	<sup>a</sup>		
380.5	15	479	(17/2) <sup>+</sup>	99	13/2 <sup>+</sup>	(Q)	<sup>a</sup>		
381.5	20	1015	(17/2) <sup>-</sup>	634	(13/2) <sup>-</sup>	E2		A <sub>2</sub> =0.3 1, P=0.70 25.	

Continued on next page (footnotes at end of table)

**$^{161}\text{Dy}(^{28}\text{Si},4n\gamma)$  1988Ha19 (continued)** **$\gamma(^{185}\text{Hg})$  (continued)**

$E_\gamma^\dagger$	$I_\gamma^\ddagger$	$E_i(\text{level})$	$J_i^\pi$	$E_f$	$J_f^\pi$	Mult. <sup>#</sup>	Comments
407.4	24	1020	(19/2) <sup>-</sup>	613	(15/2) <sup>-</sup>	E2	$A_2=0.3 I, P=0.6 2.$
419 <sup>c</sup>	@	1514	(25/2) <sup>+</sup>	1093	(21/2) <sup>+</sup>	(Q) <sup>a</sup>	
427	3&	2478	(31/2) <sup>+</sup>	2052	(29/2) <sup>+</sup>	(D+Q) <sup>a</sup>	
428.4	10	906.8	(19/2) <sup>+</sup>	479	(17/2) <sup>+</sup>	M1+E2	$A_2=-0.23 6, P=-0.03 10.$
441.9 <sup>b</sup>	80 <sup>b</sup>	541	(17/2) <sup>+</sup>	99	13/2 <sup>+</sup>	E2	$A_2=0.3 I, P=0.5 1.$
441.9 <sup>b</sup>	20 <sup>b</sup>	1248	(21/2) <sup>-</sup>	806	(17/2) <sup>-</sup>	(Q)	
445.3	20	1461	(21/2) <sup>-</sup>	1015	(17/2) <sup>-</sup>	E2	$A_2=0.3 I, P=0.5 2.$
452.0	24	1359	(23/2) <sup>+</sup>	906.8	(19/2) <sup>+</sup>	E2	$A_2=0.19 7, P=0.1 I.$
475.4	24	1496	(23/2) <sup>-</sup>	1020	(19/2) <sup>-</sup>	E2	$A_2=0.2 I, P=0.3 I.$
483.8	47	1514	(25/2) <sup>+</sup>	1030	(21/2) <sup>+</sup>	E2	$A_2=0.3 I, P=0.42 13.$
489.4	63	1030	(21/2) <sup>+</sup>	541	(17/2) <sup>+</sup>	E2	$A_2=0.3 I, P=0.45 11.$
494.1	19	1955	(25/2) <sup>-</sup>	1461	(21/2) <sup>-</sup>	E2	$A_2=0.5 2, P=0.26 8.$
504.5	17	1753	(25/2) <sup>-</sup>	1248	(21/2) <sup>-</sup>	E2	$A_2=0.26 15, P=0.8 3.$
525.8	10	2480	(29/2) <sup>-</sup>	1955	(25/2) <sup>-</sup>	(Q) <sup>a</sup>	
527.3	18	1886	(27/2) <sup>+</sup>	1359	(23/2) <sup>+</sup>	E2	$A_2=0.3 I, P=0.26 9.$
533.8	22	2030	(27/2) <sup>-</sup>	1496	(23/2) <sup>-</sup>	E2	$A_2=0.3 I, P=0.35 13.$
537.7	36	2052	(29/2) <sup>+</sup>	1514	(25/2) <sup>+</sup>	E2	$A_2=0.3 I, P=0.14 5.$
547	8&	3028	(33/2) <sup>-</sup>	2480	(29/2) <sup>-</sup>	(Q) <sup>a</sup>	
557.2	15	2310	(29/2) <sup>-</sup>	1753	(25/2) <sup>-</sup>	Q	$A_2=0.2 I.$
582.6	15	2612	(31/2) <sup>-</sup>	2030	(27/2) <sup>-</sup>	E2	$A_2=0.3 I, P=0.5 2.$
589.8	5	3617		3028	(33/2) <sup>-</sup>		
591.7	12	2478	(31/2) <sup>+</sup>	1886	(27/2) <sup>+</sup>	(Q) <sup>a</sup>	
596.3	21	2648	(33/2) <sup>+</sup>	2052	(29/2) <sup>+</sup>	Q	$A_2=0.2 I.$
599.1	15	2909	(33/2) <sup>-</sup>	2310	(29/2) <sup>-</sup>	Q	$A_2=0.12 7.$
614	4&	1093	(21/2) <sup>+</sup>	479	(17/2) <sup>+</sup>	(Q) <sup>a</sup>	
622.8	13	3236	(35/2) <sup>-</sup>	2612	(31/2) <sup>-</sup>	Q	$A_2=0.3 I.$
623.5	8	3533	(37/2) <sup>-</sup>	2909	(33/2) <sup>-</sup>	(Q) <sup>a</sup>	
631	5	3867		3236	(35/2) <sup>-</sup>		
644.2	3	4177		3533	(37/2) <sup>-</sup>		
644.8	6	3123	(35/2) <sup>+</sup>	2478	(31/2) <sup>+</sup>	(Q) <sup>a</sup>	
646.9	10	3295	(37/2) <sup>+</sup>	2648	(33/2) <sup>+</sup>	Q	$A_2=0.2 I.$
663.2	3	3899		3236	(35/2) <sup>-</sup>		
682 <sup>c</sup>	@	4581?		3899			
687.0	3	3810		3123	(35/2) <sup>+</sup>		
687.5	5	3983		3295	(37/2) <sup>+</sup>		
720 <sup>c</sup>	@	4703?		3983			

<sup>†</sup> Uncertainties are 0.2 to 0.5 keV, depending on  $I_\gamma$ .

<sup>‡</sup> Relative uncertainties are 10 to 30%.

<sup>#</sup> From  $\gamma(\theta)$  and linear polarization measurements, and from assumed band structure and systematics.

@ Weak.

& Complex line,  $I_\gamma$  is from coincidence data.

<sup>a</sup> From angular distribution and linear polarization, but the respective coefficients are not reported.

<sup>b</sup> Multiply placed with intensity suitably divided.

<sup>c</sup> Placement of transition in the level scheme is uncertain.

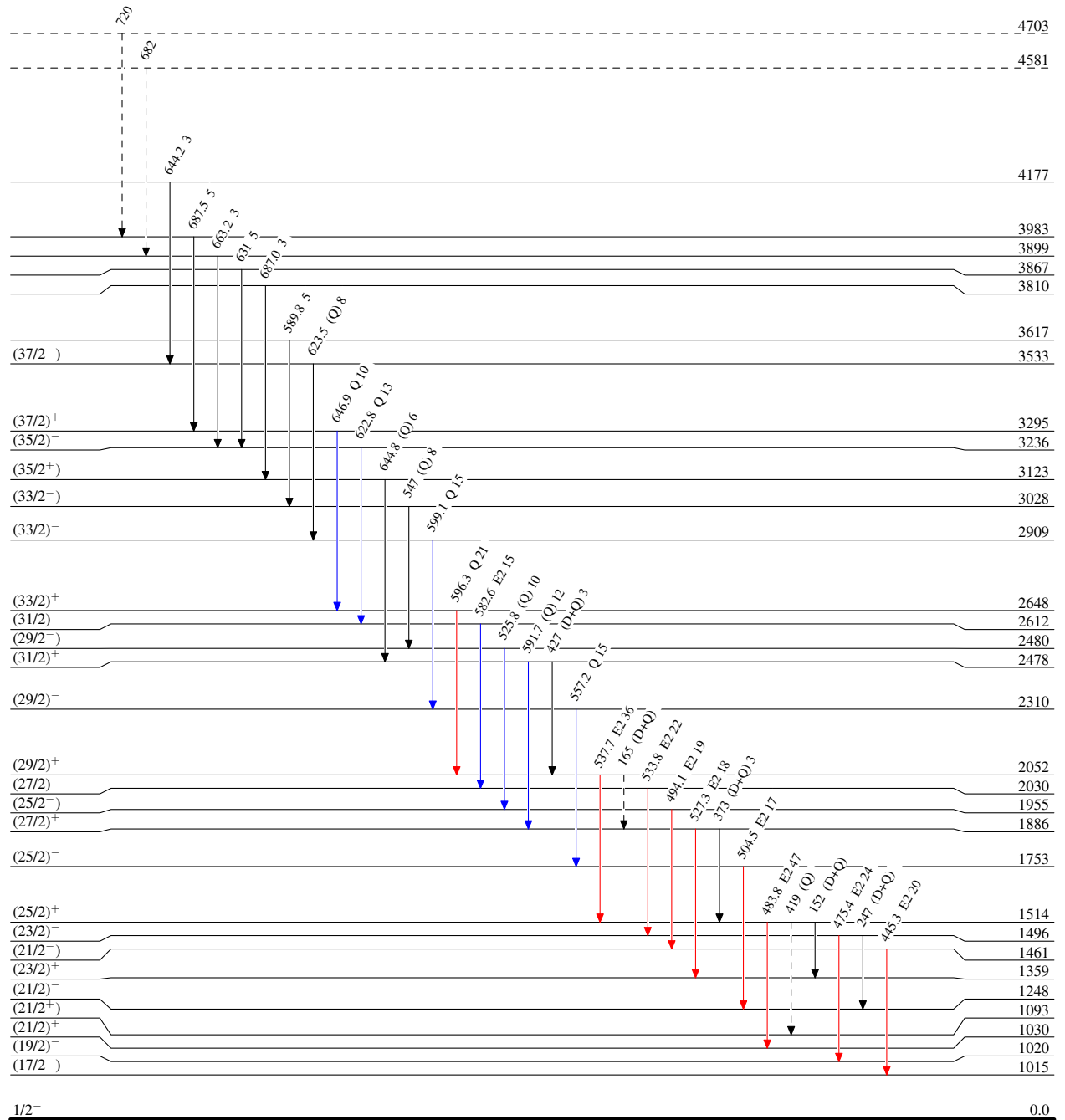
$^{161}\text{Dy}(^{28}\text{Si},4\text{n}\gamma)$     1988Ha19

## Legend

## Level Scheme

Intensities: Relative  $I_\gamma$ 

- $I_\gamma < 2\% \times I_\gamma^{\max}$
- $I_\gamma < 10\% \times I_\gamma^{\max}$
- $I_\gamma > 10\% \times I_\gamma^{\max}$
- - - →  $\gamma$  Decay (Uncertain)

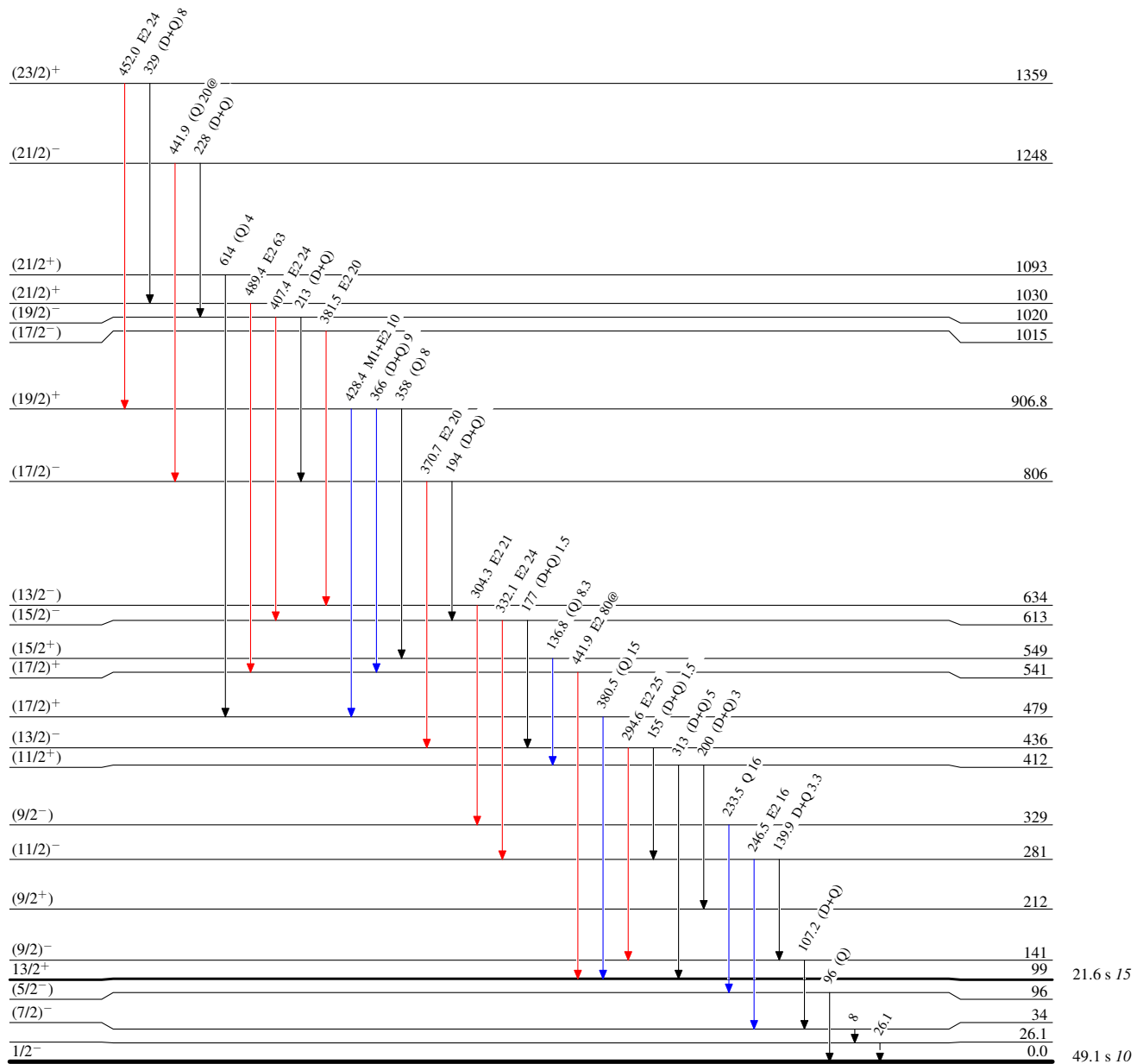


**$^{161}\text{Dy}(^{28}\text{Si},4\gamma)$  1988Ha19****Level Scheme (continued)**Intensities: Relative  $I_\gamma$ 

@ Multiply placed: intensity suitably divided

**Legend**

- $I_\gamma < 2\% \times I_{\gamma}^{\max}$
- $I_\gamma < 10\% \times I_{\gamma}^{\max}$
- $I_\gamma > 10\% \times I_{\gamma}^{\max}$
- - - - →  $\gamma$  Decay (Uncertain)



$^{161}\text{Dy}(^{28}\text{Si},4n\gamma)$  1988Ha19

Band(B): 7/2(514) rotational band

